

(44) 静止流体中で微小・調和振動する物体のまわりの流れに関する理論解析

大阪大学 工学部

近江 宗一

○ 碓井 建夫

1. 緒言 酸化鉄ペレットの膨脹還元反応において、球のまわりの流れを評価し、ガス塊膜内物質移動係数を導く目的で、ここではまず一般性のある基礎的な解析として、静止流体中で微小・調和振動する物体のまわりの流れを境界層理論に基づいて導いた。物体が微小・調和振動する場合に生じる二次流れについては、円柱の場合を Schlichting¹⁾が、回転対称物体の場合を Roy²⁾が導いているが、後者の場合式に誤りが多く、検討も不十分であるので、これらの点に関して訂正補足した。

2. 速度の近似解 基礎式はそのままでは解けないが、微小振動する流れでは $U = U_1 + U_2, V = V_1 + V_2 \dots (1)$ ただし $\partial U_1 / \partial t - \nu \partial^2 U_1 / \partial y^2 = \partial U / \partial t \dots (2)$ $\partial U_2 / \partial t - \nu \partial^2 U_2 / \partial y^2 = U \partial U / \partial x - U_1 \partial U_1 / \partial x - V_1 \partial U_1 / \partial y \dots (3)$ と近似すると解析的に解ける。³⁾ ここで境界条件は $y=0: U=0, y=\infty: U=U_0(x) e^{i\omega t} \dots (4)$ いま無次元座標を $\eta = y \sqrt{\nu / \omega} \dots (5)$ ととり、流れ関数の第1近似 ψ_1 をつぎのように仮定する。 $\psi_1(x, y, t) = \sqrt{\nu / \omega} U_0(x) r C_1(\eta) e^{i\omega t} \dots (6)$ なお $U = \frac{1}{r} \frac{\partial \psi}{\partial \theta}, V = -\frac{1}{r} \frac{\partial \psi}{\partial x} \dots (7)$ の関係より $U_1(x, y, t) = U_0(x) C'_1(\eta) e^{i\omega t} \dots (8)$ $V_1(x, y, t) = -\sqrt{\nu / \omega} \{ dU_0 / dx + (U_0 / r) dr / dx \} C'_1(\eta) e^{i\omega t} \dots (9)$ そこで式(8)を式(2)に代入して $C'_1 = -(1+i)/\sqrt{2} + \eta + \{(1-i)/\sqrt{2}\} e^{-(1+i)\eta/\sqrt{2}} \dots (10)$

つぎに流れ関数の第2近似 ψ_2 をつぎのように仮定する。

$$\psi_2(x, y, t) = \sqrt{\nu / \omega} (U_0 dU_0 / dx) (r / \omega) \{ C_{2a}(\eta) e^{2i\omega t} + C_{2b}(\eta) \} + \sqrt{\nu / \omega} (U_0^2 / \omega) (dr / dx) \{ C_{2c}(\eta) e^{2i\omega t} + C_{2d}(\eta) \} \dots (11)$$

$$\text{したがって } U_2(x, y, t) = (U_0 / \omega) (dU_0 / dx) (C'_{2a} e^{2i\omega t} + C'_{2b}) + \{ U_0^2 / (\omega r) \} (dr / dx) (C'_{2c} e^{2i\omega t} + C'_{2d}) \dots (12)$$

$$\text{いま } U, U_1, V_1, U_2 \text{ を式(3)に代入すると最終的に } C_{2a} = \frac{1+i}{4} e^{-(1+i)\eta} + \frac{i}{2} \eta e^{-(1+i)\eta/\sqrt{2}} - \frac{1+i}{4} \dots (13)$$

$$C_{2b} = -\frac{1}{4\sqrt{2}} e^{-\sqrt{2}\eta} - \frac{3}{\sqrt{2}} e^{-\eta/\sqrt{2}} \cos \frac{\eta}{\sqrt{2}} - \sqrt{2} e^{-\eta/\sqrt{2}} \sin \frac{\eta}{\sqrt{2}} - \frac{\eta}{2} e^{-\eta/\sqrt{2}} \sin \frac{\eta}{\sqrt{2}} - \frac{3}{4} \eta + \frac{13}{4\sqrt{2}} \dots (14)$$

$$C_{2c} = -\frac{1+i}{8\sqrt{2}} e^{-\sqrt{2}(1+i)\eta} + \frac{7}{8} (1+i) e^{-(1+i)\eta} - \frac{1+i}{\sqrt{2}} e^{-(1+i)\eta/\sqrt{2}} \\ + \frac{i}{2} \eta e^{-(1+i)\eta/\sqrt{2}} - \frac{(7\sqrt{2}-9)(1+i)}{8\sqrt{2}} \dots (15)$$

$$C_{2d} = -\sqrt{2} e^{-\eta/\sqrt{2}} \cos \frac{\eta}{\sqrt{2}} - \frac{1}{\sqrt{2}} e^{-\eta/\sqrt{2}} \sin \frac{\eta}{\sqrt{2}} - \frac{\eta}{2} e^{-\eta/\sqrt{2}} \sin \frac{\eta}{\sqrt{2}} - \frac{\eta}{2} + \sqrt{2} \dots (16)$$

したがって、これらの第2近似の解からつぎのような二次流れの生じることがわかる。

$$(U_{2,ta})_{y=\infty} = \frac{U_0}{\omega} \frac{dU_0}{dx} (C'_{2b})_{\eta=\infty} + \frac{U_0^2}{\omega r} \frac{dr}{dx} (C'_{2d})_{\eta=\infty} = -\frac{3}{4} \frac{U_0 dU_0}{\omega dx} - \frac{1}{2} \frac{U_0^2 dr}{\omega r dx} \dots (17)$$

またつぎの値も得られる。ただし t_a は時間平均値を表す。

$$\beta = \left(\frac{\partial U_{2,ta}}{\partial y} \right)_{y=0} = \frac{U_0}{\omega} \frac{dU_0}{dx} (C''_{2b})_{\eta=0} + \frac{U_0^2}{\omega r} (C''_{2d})_{\eta=0} = \frac{1}{2\sqrt{2}} \frac{U_0}{\omega} \frac{dU_0}{dx} \dots (18)$$

3. 計算例 (1) 円柱の場合 $U_0(x) = 2wa \sin(x/r_0) \dots (19)$

図1a の場合の例として円柱のまわりの二次流れを図2に示す。 $\psi_{2,ta}$ の式、図2より $\theta = x/r_0$ が 90° および 45° に関して対称であることがわかる。

(2) 球の場合 $U_0(x) = (3/2)wa \sin(x/r_0), r(x) = r_0 \sin(x/r_0) \dots (20)$

図1b の場合の例として球のまわりの二次流れを図3に示す。 $\psi_{2,ta}$ の式、図3より θ が 90° に関しては対称であるが、円柱の場合とは異なり 45° では対称でないことがわかる。

文献 1) H. Schlichting: Phys. Z., 33(1932), p. 327

2) D. Roy: Z. Angew. Math. Phys., 12(1961), p. 363

3) H. Schlichting: Boundary-Layer Theory, (1968), p. 391 [McGraw-Hill]

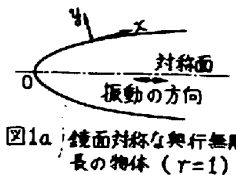


図1a 対称面
鏡面対称な平行無限長の物体 ($r=1$)

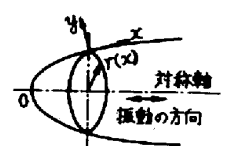


図1b 回転対称な物体

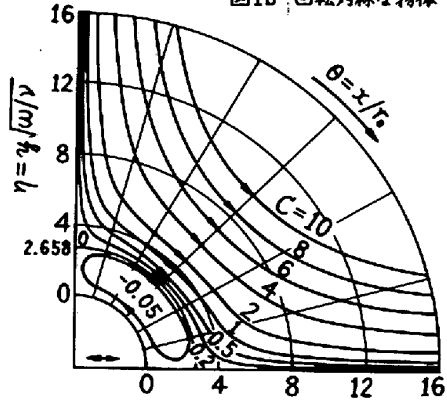


図2 流線図(円柱) $C = \frac{r_0 \frac{dU_0}{dx}}{\alpha^2 \nu} = 2 C_{2b}(\eta) \sin \frac{2x}{r_0}$

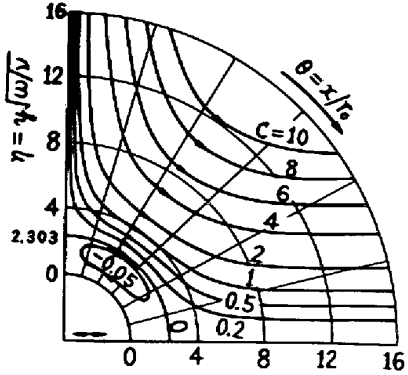


図3 流線図(球) $C = \frac{\psi_{2,ta}}{\alpha^2 \nu} = \frac{9}{4} [(C_{2b}(\eta) + C_{2d}(\eta)) \sin^2 \frac{x}{r_0} \cos \frac{x}{r_0}]$